

УДК 629.735.3.03

*А.М. Абрамов, Л.А. Баранов, В.В. Бондарцев, А.А. Бордуков,
С.В. Никитин, Т.Г. Токмакова*

АЛГОРИТМ КОРРЕКЦИИ ДИНАМИЧЕСКОЙ ПОГРЕШНОСТИ ЦИФРОВЫХ ПРЕОБРАЗОВАТЕЛЕЙ СИСТЕМЫ БОРТОВЫХ ИЗМЕРЕНИЙ ПРИ АНАЛИЗЕ ПОЛЁТНОЙ ИНФОРМАЦИИ

Летные испытания авиационной техники представляют всесторонние натурные эксперименты, в процессе которых осуществляются измерения практически всех параметров, а сами измерения можно отнести к динамическим измерениям.

Оценка динамических погрешностей при лётных испытаниях представляет собой довольно сложную техническую задачу. При этом значительно сложнее обстоят дела с оценкой динамических характеристик и погрешностей цифровых преобразователей, поскольку они проявляются как реакция устройства на скорость (частоту) изменения входного сигнала и во многом зависят от принципа действия и структуры используемого АЦП, ЦФ, мультиплексора и их инерционных свойств.

В статье приведён алгоритм коррекции динамической погрешности цифровых преобразователей, а также показано, как последовательно определить переходные и импульсные характеристики измерительного канала (ИК), аппроксимировать его выходной отклик и скорректировать динамическую погрешность.

Ключевые слова: динамические погрешности, системы бортовых измерений, цифровые преобразователи, аппроксимация, переходные функции.

Введение. Система бортовых измерений (СБИ) представляет собой по архитектуре автоматизированную многоканальную информационно-измерительную систему (ИИС) на базе бортового компьютера для съёма, преобразования, регистрации, обработки, хранения и визуализации измерительной информации. Источниками полетной информации являются, прежде всего, электрические сигналы, поступающие с разнообразных датчиков различных физических величин (пьезоэлектрический, пьезорезистивный, индуктивный, тензорезистивный, терморезисторный, термоанемометрический и др.) и изменяющиеся в широких амплитудном и частотном диапазонах. Безусловно, рассматривая последовательное преобразование любой физической величины в код, обработку цифровых отсчетов, передачу цифрового потока информации и измерение уже дискретных значений, можно уверенно сказать, что основную долю в суммарную погрешность всегда вносят аналоговые функциональные блоки, такие как первичный преобразователь (датчик), нормализатор (масштабирующий усилитель), аналоговый фильтр. А далее по степени убывания погрешности от

АЦП, ЦФ к мультиплексору.

При кардинальном переходе от аналогового сигнала к его цифровому виду возникает, как правило, две погрешности квантования и дискретизации, сопровождающиеся потерей полезной информации между цифровыми отсчетами.

Оценка динамических погрешностей представляет собой довольно сложную, техническую задачу. При этом значительно сложнее обстоят дела с оценкой динамических характеристик и погрешностей цифровых преобразователей, поскольку они проявляются как реакция устройства на скорость (частоту) изменения входного сигнала и во многом зависят от принципа действия и структуры используемого АЦП, ЦФ, мультиплексора и их инерционных свойств.

Цель работы – разработать алгоритм коррекции динамической погрешности цифровых преобразователей.

Теоретическая часть. Измеряемая величина $x(t)$ (вибрация, ускорение, деформация ...) датчиком преобразуется в электрическую величину. Входной преобразователь согласует сигнал датчика и усиливает его до необходимого

уровня. ФНЧ ограничивает спектр сигнала, поступающего на вход АЦП, для исключения эффекта наложения спектров, возникающего от дискретизации при аналого-цифровом преобразовании. На рисунке 1 представлена функциональная схема входной части одного из измерительных каналов СБИ.

При изменении во времени измеряемой величины $x(t)$ из-за инерционности рассмотренных звеньев возникает динамическая погрешность.



Рисунок 1 – Функциональная схема входной части СБИ

Для сравнения входной $x(t)$ и выходной $y(t)$ величин измерительной части между собой сделаем их приведение «к выходу» и запишем значение динамической погрешности $\delta(t)$ в виде [1]

$$\delta(t_n) = y_n - Kx(t_n), \quad (1)$$

где K – статический передаточный коэффициент, который находится в статических условиях работы измерительного устройства как отношение приращения выходной величины Δy к приращению входной величины Δx :

$$K = \frac{\Delta y}{\Delta x}. \quad (2)$$

Для уменьшения динамической погрешности был разработан алгоритм для цифрового фильтра, корректирующего динамические характеристики измерительной части, представленный на рисунке 2.

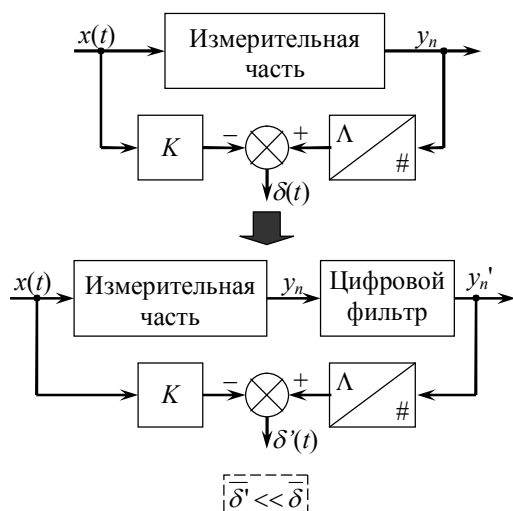


Рисунок 2 – Уменьшение динамической погрешности

На рисунке блок $\#/\Lambda$ осуществляет восстановление аналогового сигнала из цифровых отсчетов.

Измерительная часть состоит из аналоговых блоков и АЦП, но в дальнейшем мы будем её рассматривать как единый аналоговый блок. Такое допущение справедливо, если частота дискретизации АЦП во много выше частоты спектра сигнала, подаваемого на его вход. В случае минимизации динамической погрешности во временной области (корректировка переходных процессов) будем описывать измерительную часть, используя импульсную $g(t)$ или переходную $h(t)$ характеристики, в частотной области (корректировка полосы пропускания) будем использовать передаточную функцию $G(p)$.

Уравнение связи между входным и выходным сигналами измерительной части в динамическом режиме можно представить через интегральное уравнение типа свертки

$$y(t) = \int_{-\infty}^{\infty} x(\tau)g(t-\tau)d\tau. \quad (3)$$

Скорректировать динамические погрешности означает определить по выходному сигналу $y(t)$ входной сигнал $x(t)$. Формально это означает решить интегральное уравнение (3).

С точки зрения математики задача (3) является некорректно поставленной [2-4], т.к. решение может: а) не существовать, б) быть не единственным, в) быть неустойчивым (когда небольшие погрешности во входных данных вызывают резкое изменение решения). Не вдаваясь в математические подробности, рассмотрим эти «некорректности».

а) В нашем практическом случае мы уверены в существовании сигнала $x(t)$, т.е. решения уравнения (3), при наличии отклика на выходе измерительной части $y(t)$. Отсутствие решения может объясняться только неадекватной математической моделью устройства.

б) Неоднозначные решения уравнения (3) могут возникнуть из-за наличия нулей в амплитудно-частотной характеристике (АЧХ) устройства, причем нули лежат в частотном спектре входного сигнала. Тогда добавление во входной сигнал $x(t)$ гармоник с частотами, равными частотам нулей АЧХ, не вызовет изменение в отклике $y(t)$. Таким образом, решение уравнения (3) оказывается не единственным. Проектировать входную часть СБИ необходимо так, чтобы АЧХ всех составляющих измерительной час-

ти (рисунок 1) не имели нулей в полосе частот входного сигнала $x(t)$. На практике именно так и делают, исключая неоднозначность решения.

в) На практике определение выходного сигнала происходит с погрешностью измерения и дальнейшие вычисления ведутся с функцией

$$\tilde{y}(t) = y(t) + \varepsilon(t), \quad (4)$$

где $\varepsilon(t)$ – погрешность измерения. Покажем, что сколько угодно малой погрешности $\varepsilon(t)$ может соответствовать ненулевая погрешность восстановления сигнала.

Найдем Фурье-преобразование выражения (4)

$$\tilde{Y}(\omega) = Y(\omega) + E(\omega), \quad (5)$$

здесь $\tilde{Y}(\omega)$, $Y(\omega)$ и $E(\omega)$ – Фурье-образы функций $\tilde{y}(t)$, $y(t)$ и $\varepsilon(t)$ соответственно.

Найдем Фурье-образ входного сигнала

$$\tilde{X}(\omega) = \frac{\tilde{Y}(\omega)}{G(\omega)} = \frac{Y(\omega)}{G(\omega)} + \frac{E(\omega)}{G(\omega)}, \quad (6)$$

где $\tilde{X}(\omega)$ – преобразования Фурье функции $\tilde{x}(t)$, восстановленной из выходного отклика $\tilde{y}(t)$, $G(\omega)$ – передаточная функция устройства. Преобразуем (6) к следующему виду:

$$\tilde{X}(\omega) = X(\omega) + \frac{E(\omega)}{G(\omega)}. \quad (7)$$

Применим к уравнению (7) обратное преобразование Фурье

$$\begin{aligned} \tilde{x}(t) &= \frac{1}{2\pi} \left(\int_{-\infty}^{\infty} X(\omega) e^{j\omega t} d\omega + \int_{-\infty}^{\infty} \frac{E(\omega)}{G(\omega)} e^{j\omega t} d\omega \right) \\ &= x(t) + \frac{1}{2\pi} \int_{-\infty}^{\infty} \frac{E(\omega)}{G(\omega)} e^{j\omega t} d\omega. \end{aligned} \quad (8)$$

Интеграл в правой части представляет собой ошибку $\varepsilon_{\text{ex}}(t)$ восстановления входного сигнала. Так как погрешность измерения $\varepsilon_{\text{ex}}(t)$ случайная величина, то и $E(\omega)$ случайна. Полагая, что $\varepsilon_{\text{ex}}(t)$ имеет нулевое математическое ожидание ($M[\varepsilon_{\text{ex}}(t)] = 0$), и учитывая равенство Парсевалю, запишем дисперсию погрешности восстановленного сигнала:

$$D_{\varepsilon} = \int_{-\infty}^{\infty} \varepsilon_{\text{ex}}(t)^2 d\omega = \frac{1}{2\pi} \int_{-\infty}^{\infty} \frac{|E(\omega)|^2}{|G(\omega)|^2} d\omega. \quad (9)$$

Передаточные функции реальных устройств стремятся к нулю при $\omega \rightarrow \infty$, в нашем случае это тем более справедливо, так как $G(\omega)$ имеет частную характеристику ФНЧ (рисунок 1). В частотном спектре помехи может присутствовать составляющая со спектром белого шума, не убывающая с ростом частоты. Поэтому в подынтегральном выражении при $\omega \rightarrow \infty$ происходит деление конечной величины на величину, стремящуюся к нулю, и дисперсия получается бесконечной.

Не обязательно для того, чтобы получить большую дисперсию погрешности, в помехе должна присутствовать компонента белого шума, достаточно чтобы спектр помехи убывал медленнее передаточной функции. Неустойчивость решения уравнения (3) объясняется наличием высокочастотных составляющих в помехе.

Для «стабилизации» решения нужно подавить высокочастотные составляющие при измерении отклика $y(t)$ или, как говорят, провести регуляризацию решения. При проведении регуляризации важно не потерять полезные высокочастотные составляющие в восстанавливаемом сигнале $x(t)$.

Аппроксимация переходной, импульсной характеристик измерительной части и выходного отклика.

Решение задачи коррекции динамической погрешности требует определения импульсной характеристики $g(t)$ измерительной части. Для нахождения $g(t)$ на вход исследуемого устройства подается дельта-функция Дирака и регистрируется реакция. На практике проще найти переходную характеристику $h(t)$, т.к. в качестве испытательного сигнала на вход измерительной части подается сигнал в виде единичного скачка $1(t)$, имеющего, в отличие от дельта-функции, конечную амплитуду. Определив переходную, несложно вычислить и импульсную характеристику:

$$g(t) = \frac{d}{dt} h(t). \quad (10)$$

Подав на вход измерительной части тестовый единичный скачок $1(t)$, регистрируем отклик на выходе измерительной части в виде массива цифровых отсчетов y_n . Частота дискретизации АЦП выбрана постоянной, поэтому отсчеты y_n , измеренные в моменты времени t_n , расположены через равные интервалы Δt .

Поскольку переходные и импульсные характеристики линейных электрических и механиче-

ских устройств описываются с помощью экспоненциальных функций с вещественными и комплексными показателями, то естественно выбрать их в качестве основы аппроксимирующих полиномов. При таком выборе будет достигаться минимум погрешности аппроксимации при фиксированном количестве членов полинома.

Интерполяция. Запишем переходную функцию в виде экспоненциального полинома:

$$h(t) = \sum_{n=0}^{N-1} c_n e^{p_n t}, \quad (11)$$

где c_n и p_n – неизвестные постоянные.

Задача интерполяция заключается в том, чтобы построить экспоненциальный полином, принимающий в точках $t_0 \dots t_{N-1}$ значения $y_0 \dots y_{N-1}$.

Для решения задачи составим характеристическое уравнение

$$\begin{vmatrix} y_0 & y_1 & \dots & y_N \\ y_1 & y_2 & \dots & y_{N+1} \\ \dots & \dots & \dots & \dots \\ y_{N-1} & y_N & \dots & y_{2N-1} \\ 1 & m & \dots & m^N \end{vmatrix} = 0. \quad (12)$$

Найдя корни уравнения (12), из равенства $m_n = e^{p_n \Delta t}$ можно определить первые N неизвестных:

$$p_n = \frac{1}{\Delta t} \ln(m_n). \quad (13)$$

Оставшиеся неизвестные определим из системы уравнений

$$\begin{pmatrix} \tilde{n}_0 & \tilde{n}_1 & \dots & c_{N-1} \\ c_0 m_0 & c_1 m_1 & \dots & c_{N-1} m_{N-1} \\ \dots & \dots & \dots & \dots \\ c_0 m_0^{N-1} & c_1 m_1^{N-1} & \dots & c_{N-1} m_{N-1}^{N-1} \end{pmatrix} = \begin{pmatrix} y_0 \\ y_1 \\ \dots \\ y_{N-1} \end{pmatrix}. \quad (14)$$

Окончательный результат получим, подставив вычисленные значения $p_0 \dots p_{N-1}$ и $c_0 \dots c_{N-1}$ в выражение (11). Импульсную характеристику получим, проинтегрировав (11):

$$g(t) = \sum_{n=0}^{N-1} c_n p_n e^{p_n t}. \quad (15)$$

Среднеквадратическое приближение. В случае когда отсчеты y_n содержат в себе заметную составляющую случайной помехи или когда количество отсчетов y_n превышает количество неизвестных постоянных в экспоненциальном полиноме (15), для аппроксимации целесообразно использовать метод наименьших квадратов (МНК). МНК оказывает «сглаживающее» действие и поэтому устойчив к помехам.

Выше рассматривался вопрос устойчивости решения уравнения (3) и было показано, что для получения устойчивого решения необходима фильтрация высокочастотных составляющих отклика $y(t)$. Поэтому МНК целесообразно применять, аппроксимируя отклик $y(t)$ по отсчетам y_n , и дальнейшие вычисления для коррекции динамической погрешности вести с экспоненциальным полиномом.

В МНК минимизируется сумма квадратов невязок, т.е.:

$$\Phi(c_n, p_n) = \sum_k^M \left(y_k - \sum_{n=1}^N c_n e^{p_n t_k} \right)^2 \rightarrow \min. \quad (16)$$

Условием минимума (15) является обращение в нуль частных производных (16) по $p_0 \dots p_{N-1}$ и по $c_0 \dots c_{N-1}$. Выполнив дифференцирование и приравняв результат к нулю, получим

$$\begin{aligned} \frac{\partial \Phi(c_n, p_n)}{\partial c_n} &= 2 \sum_k^M e^{p_n t_k} \left(y_k - \sum_{n=0}^{N-1} c_n e^{p_n t_k} \right) = 0, \\ \frac{\partial \Phi(c_n, p_n)}{\partial p_n} &= 2 \sum_k^M c_n t_k e^{p_n t_k} \left(y_k - \sum_{n=0}^{N-1} c_n e^{p_n t_k} \right) = 0 \end{aligned} \quad (17)$$

После несложных преобразований (17) получим систему уравнений.

Для исключения путаницы между коэффициентами аппроксимирующих полиномов импульсной (или переходной) характеристики и отклика $y(t)$ переименуем постоянные c_n и p_n . Для выходного сигнала $y(t)$ коэффициент c_n переименуем в d_n , а p_n в s_n . С учетом последнего запишем функцию отклика в виде экспоненциального полинома:

$$y(t) = \sum_{n=0}^{N-1} d_n e^{s_n t}, \quad (18)$$

где постоянные d_n и s_n – решения системы уравнений (17) с учетом переименования ($c_n \rightarrow d_n, p_n \rightarrow s_n$).

Метод решения.

Для определения входного сигнала $x(t)$ необходимо решить уравнение (3).

Стандартный метод решения подобного уравнения основан на преобразовании Фурье:

$$F(\omega) = \int_{-\infty}^{\infty} f(t) e^{-j\omega t} dt. \quad (19)$$

Применив это преобразование к обеим частям уравнения (3), получим:

$$Y(\omega) = X(\omega) G(\omega), \quad (20)$$

где $Y(\omega)$, $X(\omega)$ и $G(\omega)$ – преобразования Фурье функций $y(t)$, $x(t)$ и $g(t)$ соответственно.

Заметим, что класс функций, при котором интеграл (19) сходится, достаточно ограничен (не существует Фурье-преобразования от многих элементарных функций). В нашем случае класс решений (19) можно расширить, если учесть что из-за физической реализуемости все используемые нами временные функции $x(t)$, $y(t)$ и $g(t)$ при $t < 0$ равны нулю. Тогда нижний предел интегрирования в (20) можно приравнять к нулю. Также, сделав в выражении (20) замену $j\omega = p$, перейдем от преобразования Фурье к преобразованию Лапласа:

$$F(p) = \int_0^{\infty} f(t)e^{-pt} dt. \quad (21)$$

Выражение (20) примет вид

$$Y(p) = X(p)G(p). \quad (22)$$

Далее из (20) имеем

$$X(p) = \frac{Y(p)}{G(p)}. \quad (23)$$

Применение к полученному выражению обратного преобразования Лапласа дает решение задачи:

$$x(t) = \frac{1}{2\pi j} \int_{\xi-j\infty}^{\xi+j\infty} \frac{Y(p)}{G(p)} e^{pt} dp. \quad (24)$$

Выше, при выборе функции для аппроксимирующего полинома, учитывалось существование аналитических решений для интегралов (21) и (24). Найдем эти решения. Преобразования Лапласа от импульсной характеристики (15) и выходного отклика (18) равны:

$$G(p) = L\{g(t)\} = L\left\{\sum_{n=0}^{N-1} c_n p_n e^{p_n t}\right\} = \sum_{n=0}^{N-1} \frac{c_n p_n}{p + p_n} \quad (25)$$

$$Y(p) = L\{y(t)\} = L\left\{\sum_{n=0}^{M-1} d_n e^{s_n t}\right\} = \sum_{n=0}^{M-1} \frac{d_n}{p + s_n} \quad (26)$$

соответственно. Здесь количество членов аппроксимирующего полинома у импульсной характеристики равно N , а у входного отклика – M .

Подставив (25) и (26) в выражение (23), получим

$$X(p) = \frac{\sum_{n=0}^{N-1} \frac{c_n p_n}{p + s_n}}{\sum_{n=0}^{N-1} \frac{d_n}{p + p_n}}. \quad (27)$$

Избавление от «многоэтажности» в выраже-

нии (27) дает

$$X(p) = \frac{b_M p^M + b_{M-1} p^{M-1} + \dots + b_1 p + b_0}{a_N p^N + a_{N-1} p^{N-1} + \dots + a_1 p + a_0}, \quad (28)$$

где $a_0 \dots a_N$ и $b_0 \dots b_N$ – постоянные вычисленные после упрощения выражения (27).

Для нахождения инверсного преобразования Лапласа от (28) не обязательно пользоваться формулой (24). Методика поиска оригинала от дробно-рациональной функции хорошо известна и здесь подробно рассматриваться не будет. Скажем лишь, что дробь (28) разлагают на элементарные дроби вида

$$\frac{A}{p + \alpha}, \quad (29)$$

$$\frac{Bp + C}{p^2 + \beta p + \gamma}. \quad (30)$$

Дробям (29) и (30) будут соответствовать оригиналы:

$$L^{-1}\left\{\frac{A}{p + \alpha}\right\} = Ae^{-\alpha t}, \quad (31)$$

$$L^{-1}\left\{\frac{Bp + C}{p^2 + \beta p + \gamma}\right\} = e^{-\delta t} \left(B \cos(\omega t) + \frac{C - B\delta}{\omega} \sin(\omega t) \right), \quad (32)$$

где $\delta = \frac{\beta}{2}$ и $\omega = \sqrt{\gamma - \delta^2}$.

Таким образом, окончательное решение задачи будет состоять из суммы слагаемых вида (31) и (32):

$$x(t) = \sum_{n=0}^{n_1} A_n e^{-\alpha_n t} + \sum_{n=0}^{n_2} e^{-\delta_n t} \left(B_n \cos(\omega_n t) + \frac{C_n - B_n \delta_n}{\omega_n} \sin(\omega_n t) \right). \quad (33)$$

Алгоритм коррекции динамической погрешности.

Опираясь на вышеприведенный материал, опишем последовательность действий для компенсации динамической погрешности.

1. *Определение переходной и импульсной характеристик измерительной части.*

Этот пункт выполняется до эксплуатации СБИ, во время ее настройки. Предполагается, что определение характеристик производится в «лабораторных» условиях, с малым уровнем помех. Поэтому в выходных отсчетах y_n составляющая случайной помехи мала. В противном случае определение переходной и импульсной характеристик необходимо производить по алгоритму, изложенному в пункте 2, т.к. этот алго-

ритм имеет «сглаживающие» свойства:

а) необходимо на вход измерительной части (на датчик, рисунок 1) подать воздействие в виде единичного скачка и зарегистрировать на выходе отклик — массив цифровых отсчетов $y_0 \dots y_{N-1}$;

б) подставить полученные отсчеты в характеристическое уравнение (12). Решив его, найдем корни $y_0 \dots y_{N-1}$;

в) вычислить показатели экспонент $p_0 \dots p_{N-1}$, для этого найденные в предыдущем пункте корни по очереди подставить в выражение (13);

г) используя $m_0 \dots m_{N-1}$ и $y_0 \dots y_{N-1}$, составить систему уравнений (14) и решить ее, найдя постоянные $c_0 \dots c_{N-1}$.

Найденные в пп. «б» и «в» значения $p_0 \dots p_{N-1}$ и $c_0 \dots c_{N-1}$ являются коэффициентами полинома (15), аппроксимирующего импульсную характеристику измерительной части $g(t)$.

2. *Аппроксимация выходного отклика измерительной части.*

а) зарегистрировать выходные отсчеты (отклик на измеряемый входной сигнал $x(t)$) $y_0 \dots y_{N-1}$;

б) подставив значения $y_0 \dots y_{N-1}$ в систему уравнений (17) и решив ее с учетом переименования $c_n \rightarrow d_n$, $p_n \rightarrow s_n$, найдем постоянные $s_0 \dots s_{N-1}$ и $d_0 \dots d_{N-1}$.

Найденные значения $s_0 \dots s_{N-1}$ и $d_0 \dots d_{N-1}$ являются коэффициентами экспоненциального полинома (18), аппроксимирующего выходной отклик измерительной части на сигнал $x(t)$.

3. *Получение окончательного решения задачи — сигнала со скорректированной динами-*

ческой погрешностью:

а) с помощью рассчитанных в пп. 1,б, 1,в, и 2,б значений $p_0 \dots p_{N-1}$, $m_0 \dots m_{N-1}$, $s_0 \dots s_{N-1}$ и $d_0 \dots d_{N-1}$ вычислить коэффициенты $a_0 \dots a_N$ и $b_0 \dots b_M$ дробно-рациональной функции (28);

б) используя коэффициенты $a_0 \dots a_N$ и $b_0 \dots b_M$, через разложение рациональной дроби (28) на элементарные дроби вида (29) и (30) рассчитать постоянные $A_0 \dots A_{n1}$, $\alpha_0 \dots \alpha_{n1}$, $\delta_0 \dots \delta_{n2}$, $B_0 \dots B_{n2}$, $\omega_0 \dots \omega_{n2}$ и $C_0 \dots C_{n2}$;

в) используя постоянные, рассчитанные в предыдущем пункте, получить окончательный результат вида (33).

Заключение. В статье предложено практическое решение по коррекции динамической погрешности цифровых преобразователей, т.е. минимизации суммарной погрешности между входным и выходным сигналами измерительной части в динамическом режиме.

Показано, как последовательно, в соответствии с разработанным алгоритмом, определить переходную и импульсную характеристики ИК, аппроксимировать его выходной отклик и скорректировать динамическую погрешность.

Библиографический список

1. Грановский В.А. Динамические измерения: Основы метрологического обеспечения. Л.: Энергоатомиздат, 1984. 224 с.
2. Тихонов А.Н., Арсенин В.Я. Методы решения некорректных задач. М.: Наука, 1979. 285 с.
3. Тихонов А.Н. и др. Численные методы решения некорректных задач. М.: Наука, 1990. 229 с.
4. Кабанихин С.И. Обратные и некорректные задачи. Новосибирск: Сибирское научное издательство, 2009. 457 с.